

意大利蜜蜂蜂毒磷脂酶 A₂ 基因在杆状病毒-昆虫细胞系统中的表达

沈立荣, 邢丽苹, 张传溪*, 程家安*

(浙江大学应用昆虫学研究所, 杭州 310029)

摘要: 利用 Bac to Bac 系统将意大利蜜蜂蜂毒磷脂酶 A₂ (AmPLA₂) 基因 cDNA 克隆至转移载体 pFastBacHTa 中, 得到 pBacHT-AmPLA₂, 再将其转化入含穿梭载体 Bacmid 的受体大肠杆菌 DH10Bac 中, 通过转座作用, 得到含 AmPLA₂ 基因的重组病毒 rBacmid-AmPLA₂ 的 DNA。提取其基因组 DNA, 用脂质体介导转染粉纹夜蛾细胞 Tn-5B1-4, 得到重组病毒 rACV-Bac-AmPLA₂。用此重组病毒感染 Tn-5B1-4 细胞, 在细胞中表达 AmPLA₂。SDS-PAGE 电泳结果显示, 与 6 × His Tag 融合表达的产物蛋白分子量约为 18 kD 左右, 表达量约占细胞总蛋白的 5.35%。Western blot 印迹显示, 融合表达产物能与意大利蜜蜂蜂毒 AmPLA₂ 抗血清发生免疫反应。生物活性测定显示, 含表达产物的细胞蛋白粗提物对底物蛋黄的酶活力约为 6.13 μmol·min⁻¹·mg⁻¹。

关键词: 意大利蜜蜂; 蜂毒; 磷脂酶 A₂ 基因; 杆状病毒-昆虫细胞系统; 表达

中图分类号: Q966 文献标识码: A 文章编号: 0454-6296(2006)03-0367-06

Expression of phospholipase A₂ gene from the venom of *Apis mellifera* in the baculovirus-insect cell system

SHEN Li-Rong, XING Li-Ping, ZHANG Chuan-Xi*, CHENG Jia-An* (Institute of Applied Entomology, Zhejiang University, Hangzhou 310029, China)

Abstract: The cDNA encoding phospholipase A₂ of *Apis mellifera* (AmPLA₂) was cloned into a transfer vector pFastBacHTa to form the recombinant donor plasmid pBacHT-AmPLA₂. The recombinant donor plasmid was then transformed into *Escherichia coli* DH10Bac. By transposition, AmPLA₂ gene was integrated into Bacmid, and a recombinant shuttle vector, rBacmid-AmPLA₂ was constructed. The cultured *Trichoplusia ni* Tn-5B1-4 cells, mediated with Lipofectin, were transfected with the rBacmid-AmPLA₂ DNA, and then the recombinant baculovirus, rACV-Bac-AmPLA₂ was obtained. The recombinant virus was further used to infect the Tn-5B1-4 cells to express the target protein. SDS-PAGE analysis of the infected cellular proteins showed that the size of the expression product of AmPLA₂ fused with 6 × His-tag at its N-terminal was about 18 kD, and the expressed protein accumulated up to about 5.35% of the total cellular proteins. Western blot analysis using anti-AmPLA₂ polyclonal serum confirmed the expressed protein was a fusion protein of AmPLA₂. The protein extracts of AmPLA₂ showed an enzymatic activity of about 6.13 μmol·min⁻¹·mg⁻¹ for hydrolyzing egg yolk substrate.

Key words: *Apis mellifera*; bee venom; phospholipase A₂ gene; baculovirus-insect cell system; expression

蜂毒磷脂酶 A₂ (bee venom phospholipase A₂, BvPLA₂) 是蜜蜂蜂毒(下称蜂毒)中含量仅次于溶血肽(melittin)的活性成分和过敏原(Habermann, 1972)。按其来源和生化性质, 它属于胞外分泌的

基金项目: 国家自然科学基金项目(30271008)

作者简介: 沈立荣, 男, 1960年7月生, 博士, 副教授, 主要从事昆虫资源与分子生物学研究, 现工作单位为浙江大学生物系统工程与食品科学学院, E-mail: shenlirong@zju.edu.cn

* 通讯作者 Author for correspondence, E-mail: chxzhang@zju.edu.cn; jacheng@zju.edu.cn

收稿日期 Received: 2005-09-11; 接受日期 Accepted: 2006-02-13

PLA₂ 碱性糖蛋白,是一种水解天然磷脂的催化酶,可催化甘油磷脂的第二位脂酰键的水解,生成溶血磷脂和脂肪酸,与溶血肽起协同作用,产生较强的溶血活性,使红细胞溶解,因而被称为“间接的溶血毒素”(Schmidt, 1982; Owen *et al.*, 1990; Kelley *et al.*, 1992)。在医学和细胞生物学实验研究中,磷脂酶 A₂ 是研究生物膜、脂蛋白中磷脂结构等的重要工具酶(杜晓燕和周元聪, 1997),也是与治疗心肌梗死、类风湿性关节炎等疾病相关的活性成分,具有药物利用价值(Mukherjee *et al.*, 1994; Eckey *et al.*, 1997; Nakashima *et al.*, 2004)。由于蜂毒磷脂酶 A₂ 作为蜜蜂的防卫性毒素成分,具有一定的杀虫活性,如 Quistad 等(1988)曾用 BvPLA₂ 注射烟草天蛾 3 龄幼虫测定毒力,测得其 LD₅₀ 为 158 $\mu\text{g/g}$,与溶血肽的毒力(LD₅₀ 为 159 $\mu\text{g/g}$)同等;同时发现 BvPLA₂ 与溶血肽的混合液(二者比例为 10:44)的 LD₅₀ 为 32 $\mu\text{g/g}$,毒力高于粗蜂毒(76 $\mu\text{g/g}$)1 倍以上,显示 BvPLA₂ 在开发生物农药方面具有重要的应用价值。

自意大利蜜蜂 *Apis mellifera*(下称意蜂)蜂毒磷脂酶 A₂(AmPLA₂) 在 1954 年被鉴定(Habermann, 1972)以来,科研人员对其生化特性、作用机制、免疫学、蛋白晶体结构等已有一系列研究(Shiplini *et al.*, 1974a, 1974b; Weber *et al.*, 1987; Scott *et al.*, 1990)。Kuchler 等(1989)依据克隆的大小为 405 bp 的基因核苷酸序列精确确定了 AmPLA₂ 由 134 个氨基酸残基组成,Dudler 等(1992)曾采用人工合成的 AmPLA₂ 基因在大肠杆菌中进行了表达。近年我们采用构建毒腺文库和 RT-PCR 方法,先后从意蜂和中华蜜蜂 *Apis cerana cerana* 毒腺总 RNA 中克隆了 BvPLA₂、溶血肽等基因,并开展了基因重组表达(沈立荣等, 2002, 2004; Shi *et al.*, 2004)。活体蜜蜂毒腺中溶血肽和 BvPLA₂ 的表达和调控(Li *et al.*, 2005a, 2005b)等一系列研究。本文报道了我们用杆状病毒-昆虫细胞系统表达 AmPLA₂ 基因的结果,以为 AmPLA₂ 开发提供一个新的可能途径。

1 材料与方法

1.1 材料

含 AmPLA₂ 基因(405 bp)的载体质粒 pGEM-AmPLA₂ 由本实验室构建(沈立荣等, 2002);粉纹夜蛾 *Trichoplusia ni* 细胞系 Tn-5B1-4(下称 Tn 细胞),由本实验室保存;Bac to Bac 杆状病毒-昆虫细胞表达

系统购自 Invitrogen 公司。健康雄性大白兔由浙江中医学院实验动物中心提供。

1.2 试剂

脂质体 Lipofectin、胎牛血清购自 Invitrogen 公司,昆虫细胞培养基 TNM-FH 和天然纯抗原 AmPLA₂、完全弗氏佐剂和不完全弗氏佐剂为 Sigma 公司产品,意蜂粗毒干粉购自浙江省缙云县养蜂协会;SDS-PAGE 电泳中等分子量标准蛋白、Taq DNA Polymerase、羊抗兔 IgG-AP 二抗、NBT/BCIP 购自 Promega 公司,硝酸纤维素滤膜(NC 膜)购自 Milipore 公司,脱氧胆酸钠、牛血清蛋白(BSA)购自上海生工生物工程公司;限制性内切酶 *EcoR* I 和 *Hind* III、IPTG、X-gal、低熔点琼脂糖(LMP)、DL2000 分子量标准核酸购自 TaKaRa 宝生物工程(大连)公司。所用抗生素卡那霉素、庆大霉素、四环素及常规试剂为国产分析纯产品。

1.3 方法

1.3.1 PCR 引物设计:克隆 AmPLA₂ 成熟肽编码区的引物 PLA₂F/PLA₂R 根据 Kuchler 等(1989)报道的基因 AmPLA₂ 序列(GenBank 序列号: X16709)设计,由上海生工生物工程公司合成。引物序列如下:
正向引物 PLA₂F: 5'-AGAATTCATGATAATATATCCAGGAACG-3'(下划线处为 *EcoR* I 位点);
反向引物 PLA₂R: 5'-GAAGCTTAATACTTGCGAAGATCG-3'(下划线处为 *Hind* III 位点)。

1.3.2 重组杆状病毒转移质粒 pBacHT-AmPLA₂ 的构建:将带有 AmPLA₂ 基因的载体质粒 pGEM-AmPLA₂ 用 *EcoR* I 和 *Hind* III 进行双酶切, LMP 凝胶电泳回收大小为 400 bp 的目的片段,与事先经 *EcoR* I 和 *Hind* III 双酶切的 pFastBacHTa 质粒连接,转化大肠杆菌 TG1,重组转移质粒 pBacHT-AmPLA₂ 经 *EcoR* I 和 *Hind* III 双酶切,并以 AmPLA₂ 正向引物和反向引物作 PCR 鉴定确认。PCR 反应条件为 94℃ 变性 30 s, 58℃ 退火 30 s, 72℃ 延伸 30 s, 共进行 30 个循环,然后 72℃ 保温 5 min。

1.3.3 重组杆状病毒 rBacmid-AmPLA₂ 的构建:碱法提取重组转移质粒 pBacHT-AmPLA₂ 转化大肠杆菌 *Escherichia coli* DH10Bac(含有经修饰的杆状病毒 Bacmid),在含有 IPTG、X-gal、卡那霉素、庆大霉素及四环素的平板上进行 2 轮筛选,挑取发生转座作用生成的白斑,提取重组 Bacmid 基因组 DNA,用 AmPLA₂ 正向引物和反向引物作 PCR 鉴定,筛选出重组病毒 rBacmid-AmPLA₂。

1.3.4 rBacmid-AmPLA₂ 转染昆虫细胞及转染后重组杆状病毒的 PCR 鉴定:提取重组 rBacmid-AmPLA₂ 的基因组 DNA 在 Lipofectin 介导下转染 Tn 细胞,经 3 天后收取有明显病毒感染症状的细胞上清,再次转染 Tn 细胞进行病毒扩增。经 4 次传代转染后,从收获 Tn 细胞抽提病毒 DNA 作为模板,用 AmPLA₂ 正向引物和反向引物作 PCR 鉴定后,在 4℃ 保存细胞上清用于再次转染 Tn 细胞(张传溪,2001)。

1.3.5 多克隆抗体的制备及效价测定:将天然纯抗原 AmPLA₂ 1 mg 溶解于 1 mL 双蒸水中,冷冻备用。挑选健康大白兔,用 AmPLA₂ 抗原溶液免疫大白兔 3 次:首次按每头兔取 200 ~ 300 μ L AmPLA₂ 溶液量与等体积的完全弗氏佐剂混合乳化,作皮下注射;21 天后,按每头兔取 100 ~ 200 μ L AmPLA₂ 液量与等体积的不完全弗氏佐剂混合乳化,作皮下多点及腿部肌肉注射,进行加强免疫;再过 21 天后,按前一次加强免疫剂量,进行最后一次臀部肌肉注射。全部注射完 7 天后从兔耳抽取血清样,按倍比稀释,用琼脂糖双向扩散法测定效价。结果显示 1:2:4:8 倍血清液都能与 1:1 000 倍 AmPLA₂ 溶液产生免疫沉淀带,显示效价合适。然后取兔血并分离血清,分装后 -70℃ 保存备用,所得抗体即为 AmPLA₂ 多克隆抗体。

1.3.6 SDS-PAGE 电泳:取经 rBacmid-AmPLA₂ 感染 3 天后的 Tn 细胞,经 2 000 g/min 离心 3 min,弃上清液,PBS(pH 7.4)缓冲液洗涤沉淀 1 ~ 2 次。按 100 μ L PBS 缓冲液/mL 感染液悬浮细胞,取出 10 μ L 加等体积 2 \times SDS 上样缓冲液,进行 SDS-PAGE 电泳,浓缩胶浓度为 5%,分离胶浓度为 12%。其中以不含目的基因的 Bacmid 感染的 Tn 细胞作阴性对照,以 Sigma 产意蜂 AmPLA₂ 纯品作阳性对照。目的基因的表达量通过 SDS-PAGE 胶薄层扫描法测算。

1.3.7 Western blot 分析:参照 Sambrook 等(1989)的方法稍作改进,具体步骤为:首先将凝胶中的蛋白质分离后电转移至硝酸纤维素膜上,将膜用封闭缓冲液(含 5% 脱脂奶粉的 TBST 缓冲液)封闭 2 h,用 TBS 和 TBST 缓冲液交替洗膜 3 次;接着与一抗溶液(30 mL 封闭缓冲液 + 一抗 10 μ L)室温反应 1.5 h,用 TBST 洗膜 4 次;然后加入封闭液稀释的羊抗兔 IgG-AP 二抗(1:500),室温反应 1.5 h,用 TBST 洗膜 3 次;最后将 NC 膜置于含 BCIP/NBI 的显色液中显色至条带清晰,将膜置蒸馏水中终止显色反应。取出晾干,拍照。

1.3.8 AmPLA₂ 酶活性的测定:参考 Owen 等(1990)和刘小龙等(2000)的方法改进,具体步骤为:取被 rBacmid-AmPLA₂ 感染的 Tn 细胞适量,加双蒸水适量,置冰上超声破碎,离心,取上清,用紫外分光光度计测定总蛋白浓度;以不含目的基因的 Bacmid 感染的细胞抽提物为阴性对照;以 Sigma 产意蜂 AmPLA₂ 纯品和国产意蜂粗蜂毒作为阳性对照。取一个新鲜鸡蛋黄加 200 mL 双蒸水,搅匀备用;取此蛋黄液 5 mL,加 0.03 mol/L CaCl₂ 1 mL,0.013 mol/L 脱氧胆酸钠 1 mL,5% BSA 1 mL,去离子水 2 mL,混匀,置 37℃ 恒温,用 1 mol/L NaOH 溶液调节 pH 值至 8.0,以此作为底物,然后分别加入待测样品液,混匀并同时计时(37℃ 恒温);滴加 0.05 mol/L NaOH 溶液中和水解产生的脂肪酸,维持 pH 在 8.0,根据 1 mg 蛋白消耗的 NaOH 来计算底物中所释放的脂肪酸。酶活单位用 1 mg 酶每分钟释放出的脂肪酸(μ g)来描述。

2 结果与分析

2.1 重组杆状病毒转移质粒的构建

将从 pGEM-AmPLA₂ 双酶切获得的粘末端目的基因片段回收纯化后,定向克隆入经同样双酶切的 pFastBacHTa 质粒中形成转移载体 pBacHT-AmPLA₂(图 1)。重组质粒经 *Eco*R I 和 *Hind* III 双酶切和 PCR 扩增,均得到大小约为 400 bp 的片段,表明构建正确。由于 AmPLA₂ 基因插入转移质粒 pFastBacHTa 后,处在多角体蛋白基因强启动子(Ph promoter)控制下,并能与 Ni-NTA 树脂亲和纯化标记 6 \times His tag 融合表达,预计表达产物是 AmPLA₂ 的 N 端增加了 25 个氨基酸残基的融合蛋白。

2.2 重组病毒 rBacmid-AmPLA₂ 的构建

将重组杆状病毒转移载体质粒 pBacHT-AmPLA₂ 转化带有辅助质粒的大肠杆菌 DH10Bac,以重组菌抽提的 DNA 作为模板,用 AmPLA₂ 引物进行 PCR 检测,得到大小约为 400 bp(图 2:1,2)的片段,证明目的基因已与 Bacmid 发生重组,即已获重组病毒 rBacmid-AmPLA₂。

2.3 rBacmid-AmPLA₂ 与 Lipofectin 共转染 Tn 细胞

在无血清条件下,用 Lipofectin 介导 rBacmid-AmPLA₂ 的基因组 DNA 转染生长状态良好的 Tn 细胞。经连续 3 次传代转染后,细胞感染症状明显,生

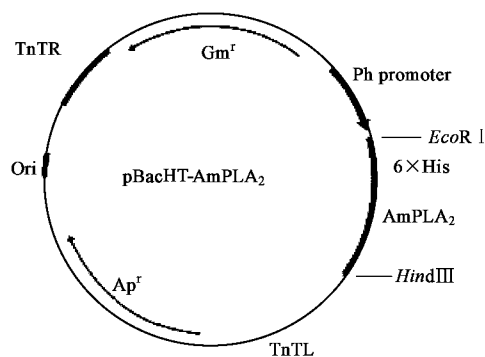
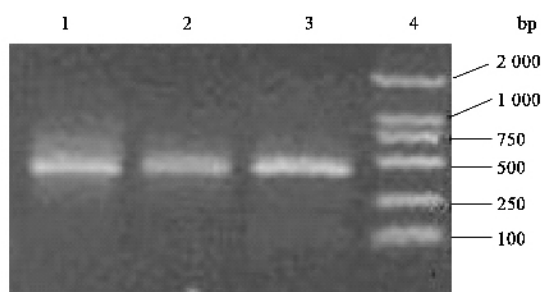
图1 转移载体 pBacHT-AmPLA₂ 图谱

Fig. 1 Schematic representation of the donor vector

图2 重组病毒 rBacmid-AmPLA₂ 的 PCR 检测Fig. 2 PCR assay of rBacmid-AmPLA₂

1, 2: rBacmid-AmPLA₂ PCR 产物 rBacmid-AmPLA₂ PCR product; 3: pGEM-AmPLA₂ PCR 产物 pGEM-AmPLA₂ PCR product; 4: DNA 标准分子量 DNA molecular weight marker (DL2000).

长状态良好的梭形细胞感染后分裂停止,变为圆球状,大部分悬浮在培养液中(图3)。

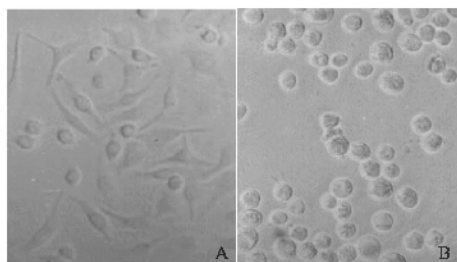


图3 重组病毒感染前(A)和感染后72 h(B) Tn 细胞状态比较

Fig. 3 Comparison of normal Tn cells (A) and cells infected with rBacmid-AmPLA₂ 72 h p. i. (B)

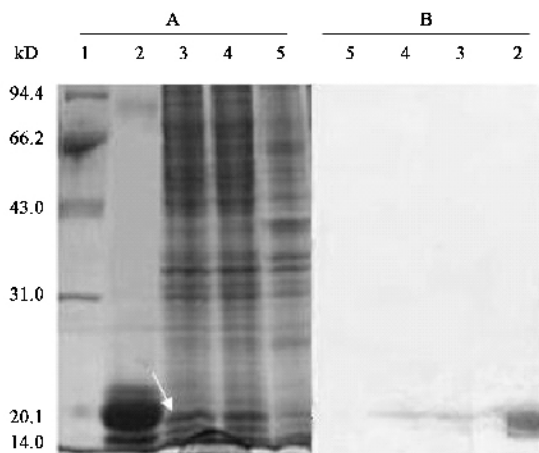
2.4 细胞中重组病毒粒子的 PCR 检测

传代转染4次以后,提取被 rBacmid-AmPLA₂ 感染的 Tn 细胞中的重组病毒 rACV-Bac-AmPLA₂ 的 DNA 为模板,用 AmPLA₂ 引物进行 PCR 检测,得到大小约为 400 bp 的片段,与预期目的基因 405 bp 大小相符(电泳结果同图2)。证明重组病毒 rBacmid-

AmPLA₂ 已在 Tn 细胞中进行了扩增。

2.5 SDS-PAGE 分析

收获被 rBacmid-AmPLA₂ 感染的 Tn 细胞,提取总蛋白质进行 SDS-PAGE 电泳,考马氏亮蓝 R-250 染色,结果显示,与阴性对照(图4A:5)相比较,被 rBacmid-AmPLA₂ 感染的 Tn 细胞在约 18 kD 处出现了特异性表达条带(图4A:3,4,用箭头标出),阳性对照(图4A:2)也在泳道中出现了2条粗大的蛋白带,表明 AmPLA₂ 已在 Tn 细胞中表达。从该结果还可发现,AmPLA₂ 特异性表达条带与预期的 AmPLA₂ 融合蛋白分子量(约 17.5 kD)相近,但比目的蛋白的分子量(14.5 kD)要大,这是因为 Bac to Bac 杆状病毒是一个融合表达系统,重组病毒在 Tn 细胞中表达时,目的蛋白的 N-端连上了 25 个氨基酸残基(包括 6 个 His),分子量大小为 3 kD,这段序列有利于进行目的蛋白表达,并便于利用亲和层析进行蛋白纯化。经 SDS-PAGE 胶薄层扫描分析,该 18 kD 的 AmPLA₂ 融合蛋白条带在细胞总蛋白中约占 5.35%。

图4 AmPLA₂ 在 Tn 细胞中表达产物的 SDS-PAGE (A) 和 Western blot (B) 分析Fig. 4 SDS-PAGE analysis (A) and Western blot analysis (B) of AmPLA₂ expression products in Tn cells

1: 蛋白分子量标准 Protein molecular weight marker; 2: Sigma 天然纯 AmPLA₂ native AmPLA₂ from Sigma; 3, 4: 感染 rBacmid-AmPLA₂ 的 Tn 细胞抽提物(表达条带用白色箭头标出) Extracts from Tn cells infected with rBacmid-AmPLA₂ (the expressed band was indicated with white arrow); 5: 感染 Bacmid 的 Tn 细胞抽提物 Extracts from Tn cells infected with Bacmid

2.6 Western blot 分析

为进一步检验表达得到的蛋白是否为目的基因的表达产物,以免抗天然纯 AmPLA₂ 多克隆抗体为

一抗,碱性辣根过氧化物酶标记的羊抗兔 IgG 为二抗,对 rBacmid-AmPLA₂ 在 Tn 细胞中的表达产物进行 Western blot 分析。结果表明,rBacmid-AmPLA₂ 表达的 18 kD 蛋白(图 4B:3,4)和天然纯 AmPLA₂(图 4B:2)同样与兔抗天然纯 AmPLA₂ 多抗血清产生了明显的交叉反应,而阴性对照(图 4B:5)则未显示交叉反应。该结果进一步证明,rBacmid-AmPLA₂ 表达产物中的 18 kD 蛋白条带含有目的基因表达产物。

2.7 AmPLA₂ 酶活性检测

AmPLA₂ 酶活力测定结果见表 1,天然纯 AmPLA₂ 和粗蜂毒显示很强的 PLA₂ 酶活性,经 rBacmid-AmPLA₂ 转染 3 天后的 Tn 细胞蛋白抽提物的 PLA₂ 酶活力约为 6.13 μmol·min⁻¹·mg⁻¹,而阴性对照未显示 PLA₂ 酶活性,表明与 His Tag 融合表达的 AmPLA₂ 产物具有 PLA₂ 酶活性。按前述目的蛋白占细胞蛋白总量的 5% 左右的表达量估计,单位纯重组 AmPLA₂ 的酶活力大致为细胞蛋白总量的 20 倍,即 122.6 μmol·min⁻¹·mg⁻¹,为 AmPLA₂ 天然纯品酶活力的 63.27%。

表 1 表达产物 AmPLA₂ 酶活力测定结果
Table 1 Enzymatic activity of the expressed AmPLA₂

样品 Sample	酶活力 Enzymatic activity (μmol·min ⁻¹ ·mg ⁻¹)
天然纯 AmPLA ₂ Native AmPLA ₂	193.75 ± 8.84
意蜂粗蜂毒 Native bee venom	15.84 ± 1.18
感染 rBacmid-AmPLA ₂ 的 Tn 细胞抽提物 Extracts from Tn cells infected with rBacmid-AmPLA ₂	6.13 ± 1.13
感染 Bacmid 的 Tn 细胞抽提物 Extracts from Tn cells infected with rBacmid-AmPLA ₂	0.00

3 讨论

AmPLA₂ 是生物活性较强的一种 PLA₂ 酶,具有较高的医药和生物农药应用价值。美国 Sigma 公司已将从天然粗蜂毒中分离纯化的 AmPLA₂ 开发成商品化试剂,已在科学研究和医学领域广泛应用,但价格昂贵。因此研究利用生物反应器生产 AmPLA₂ 具有重要的实用意义。虽然 Dudler 等(1992)已用人工合成的 AmPLA₂ 基因在大肠杆菌中进行了表达,但其研究中仅用养蜂人的血清作为第一抗体进行了初步的 ELISA 分析,未见用特异性抗体对表达产物进行更为

可靠的 Western blot 分析。而以往报道中也尚未见采用从意蜂毒腺直接克隆获得 AmPLA₂ 基因进行重组表达的相关研究。为此作者曾研究在大肠杆菌中表达 AmPLA₂ 基因(沈立荣等,2004)。但由于在原核生物大肠杆菌中的表达产物通常以包涵体形式存在,需要经过复性处理才表现出有限的活性,表达产物活性较低,因此利用大肠杆菌表达 AmPLA₂ 基因存在很大的局限性。杆状病毒-昆虫表达系统(baculovirus expression vector system, BEVS)是一种高效的真核表达系统,与大肠杆菌表达系统相比,它具有表达量大,可进行蛋白转录后加工修饰等优点。AmPLA₂ 是来自昆虫的一种糖蛋白,因此选择杆状病毒-昆虫表达系统进行表达研究更具有优势。

AmPLA₂ 基因可编码 134 个氨基酸残基,在 Bac to Bac 杆状病毒表达系统中的 His Tag 融合表达产物为增加了 25 个氨基酸残基、分子量约 18 kD 的融合蛋白;而 AmPLA₂ 天然纯品的理论分子量大小为 14.5 kD。从文中 SDS-PAGE 图谱可见,感染 Bacmid-AmPLA₂ 在 Tn 细胞中表达产物的分子量约为 18 kD,与 AmPLA₂-His Tag 融合蛋白分子量的理论推算值基本相符,可见表达产物并没有经过很大的后加工修饰。但图 4 中 AmPLA₂ 天然纯品至少有 2 条分子量大小接近或大于 18 kD 的蛋白条带,与理论值不符。我们曾对活体意蜂毒液中 4 种 SDS-PAGE 和 Western blot 带型不同的 AmPLA₂ 蛋白条带进行了 N 末端氨基酸序列测定,结果发现所有 AmPLA₂ 条带的氨基酸序列是一致的,造成分子量差异的原因是 AmPLA₂ 的不同程度糖基化所致,而意蜂毒液内的 AmPLA₂ 是 4 种糖基化程度不同的糖蛋白的混合体(Li *et al.*, 2005b)。Kubelka 等(1993)的研究表明,AmPLA₂ 属 N 聚糖类型的糖蛋白,糖链共价结合于 13 位的天冬酰胺上。糖链与 AmPLA₂ 糖蛋白的过敏性和免疫原性有关,但它并不影响 AmPLA₂ 水解天然磷脂的酶功能(Weber *et al.*, 1986, 1987)。在昆虫细胞中表达的 AmPLA₂ 虽然糖基化程度不高,但仍有明显的脂酶功能。

虽然杆状病毒-昆虫表达系统晚期基因表达是在病毒粒子形成之后,有利于细胞毒性蛋白的表达(张传溪,2001),但我们在实验中发现,AmPLA₂ 基因表达产物对昆虫细胞仍会产生较明显的细胞毒性。感染 rBacmid-AmPLA₂ 的 Tn 细胞通常比同期实验表达其他基因的细胞存活期较短,因此可能使 AmPLA₂

蛋白的表达量受到影响。

用抗 AmPLA₂ 天然纯品的特异性抗血清作为一抗对表达产物所作 Western blot 分析结果表明,表达产物与天然纯品 AmPLA₂ 显示同样的交叉反应,即表现出很强的免疫活性,与 Dudler 等(1992)的结果相比,显得更为直观而可靠。生物活性测定结果融合表达蛋白 AmPLA₂ 与天然纯品 AmPLA₂ 显示类似活性。这项作为 AmPLA₂ 的进一步研究利用提供了依据。

致谢 实验得到本所武家才、朱光辉、刘艳荷、王芳等同学的热心协助,特此致谢。

参 考 文 献 (References)

- Dudler T, Chen WQ, Wang SS, Schneider T, Annand RR, Dempcy RO, Crameri R, Gmachl M, Suter M, Gelb MH, 1992. High-level expression in *Escherichia coli* and rapid purification of enzymatically active honey bee venom phospholipase A₂. *Biochim. Biophys. Acta*, 1165(2):201–210.
- Du XY, Zhou YC, 1997. New reviews on the physical function of phospholipase A₂. *Chemistry of Life*, 17:12–14. [杜晓燕, 周元聪, 1997. 磷脂酶 A₂ 的生理机能新说. 生命的化学, 17:12–14]
- Eckey R, Menschikowski M, Lattke P, Jaross W, 1997. Minimal oxidation and storage of low density lipoproteins result in an increase susceptibility to phospholipid hydrolysis by phospholipase A₂. *Arteriosclerosis*, 132:165–176.
- Habermann E, 1972. Bee and wasp venoms. *Science*, 177:314–322.
- Kelley MK, Crowl RM, Dennis EA, 1992. Renaturation of cobra venom phospholipase A₂ expressed from synthetic gene in *Escherichia coli*. *Biochemica et Biophysica Acta*, 1118:107–115.
- Kuchler K, Gmachl M, Sippl MJ, Krell G, 1989. Analysis of the cDNA for phospholipase A₂ from honeybee venom glands. The deduced amino acid sequence reveals homology to the corresponding vertebrate enzymes. *Eur. J. Biochem.*, 184:249–254.
- Kubelka V, Almann F, Staudacher E, Tretter V, Marz L, Hard K, Kamberling JP, Vliegenthart JF, 1993. Primary structures of the N-linked carbohydrate chains from honeybee venom phospholipase A₂. *Eur. J. Biochem.*, 213:193–204.
- Li JH, Zhang CX, Tang ZH, 2005a. Expression of melittin gene in the venom gland of the Chinese honeybee, *Apis cerana cerana*. *Apidologie*, 36:533–541.
- Li JH, Zhang CX, Shen LR, Tang ZH, Cheng JA, 2005b. Expression and regulation of phospholipase A₂ in venom gland of the Chinese honeybee, *Apis cerana cerana*. *Archiv. Insect Biochem. Physiol.*, 60:1–12.
- Liu XL, Zhong XY, Wu XF, Zhou YC, 2000. Expression and biochemical characterization of a basic phospholipase A₂ from *Aghistrodon acutus*. *Chin. J. Biochem. Mol. Biol.*, 27(3):270–273. [刘小龙, 钟晓燕, 吴祥甫, 周元聪, 2000. 尖吻蝾蛇毒碱性磷脂酶 A₂ 的表达及其生化特征. 生物化学与生物物理进展, 27(3):270–273]
- Mukherjee AB, Miele L, Pattabiraman N, 1994. Phospholipase A₂ enzymes: regulation and physiological role. *Biochem. Pharmacol.*, 48:1–10.
- Nakashima S, Kitamoto K, Arioka M, 2004. The catalytic activity, but not receptor binding of sPLA₂s plays a critical role for neurotic outgrowth induction in PC12 cells. *Brain Res.*, 1015:207–211.
- Quistad GB, Skinner WS, Schooley DA, 1988. Venom of social Hymenoptera – toxicity to the Lepidopteran, *Manduca sexta*. *Insect Biochem.*, 18:511–514.
- Owen MD, Pfaff LA, Reisman RE, Wypych J, 1990. Phospholipase A₂ in venom extracts from honey bees (*Apis mellifera* L.) of different ages. *Toxicon*, 28:813–820.
- Sambrook KJ, Fritsch EF, Maniatis T, 1989. Molecular Cloning: A Laboratory Manual. 2nd ed. New York: Cold Spring Harbor Laboratory Press.
- Schmidt JO, 1982. Biochemistry of insect venoms. *Ann. Rev. Entomol.*, 27:339–368.
- Scott DL, Otwinowski Z, Geib MH, Sigler PB, 1990. Crystal structure of bee-venom phospholipase A₂, a complex with a transition-state analogue. *Science*, 250:1563–1566.
- Shen LR, Zhang CX, Cheng JA, 2002. Cloning and sequencing of genes encoding phospholipase A₂ from the venom of *Apis cerana cerana* and *A. mellifera*. *J. Agri. Biotech.*, 10(1):29–32. [沈立荣, 张传溪, 程家安, 2002. 中华蜜蜂、意大利蜜蜂毒磷脂酶 A₂ 基因的克隆及序列分析. 农业生物技术学报, 10(1):29–32]
- Shen LR, Cheng JA, Zhang CX, Wu JY, 2004. Expression of a bee-venom phospholipase A₂ from the venom of *A. mellifera*. *J. Zhejiang University (Agric. & Life Sci.)*, 30(1):89–92. [沈立荣, 程家安, 张传溪, 吴建祥, 2004. 意大利蜜蜂毒磷脂酶 A₂ 基因在大肠杆菌中的表达. 浙江大学学报(农业与生命科学版), 30(1):89–92]
- Shi WJ, Xu HJ, Cheng JA, Zhang CX, 2004. Expression of the melittin gene of *Apis cerana cerana* in *E. coli*. *Protein Expression and Purification*, 37:213–219.
- Shiplini RA, Callewaert GL, Cotterl RC, Vernon CA, 1974a. The primary sequence of phospholipase A₂ from bee venom. *FEBS Lett.*, 17:39–40.
- Shiplini RA, Doonan S, Vernon CA, 1974b. The disulfide bridge of phospholipase A₂ from bee venom. *Eur. J. Biochem.*, 48:465–476.
- Weber A, Marz L, Altmann F, 1986. Characteristics of the asparagines-linked oligosaccharide from honey-bee venom phospholipase A₂. Evidence for the presence of terminal N-acetylglucosamine and fucose in an insect glycoprotein. *Comp. Biochem. Physiol. B.*, 83(2):321–324.
- Weber A, Schroder H, Thalberg K, Marz L, 1987. Specific interaction of IgE antibodies with a carbohydrate epitope of honeybee venom phospholipase A₂. *Allergy*, 42(6):464–470.
- Zhang CX, 2001. Analysis of Baculovirus Polyhedrin Gene and Protein Kinase Gene and Expression of Human Erythropoietin Gene in Baculovirus-insect System. Beijing: Higher Education Press. 1–287. [张传溪, 2001. 昆虫杆状病毒 *ph*、*pk* 基因分析和人 EPO 基因在杆状病毒-昆虫系统中的表达. 北京: 高等教育出版社. 1–287]